

## بررسی روش‌های فعال‌سازی کائولن در تهیه زئولیت A به روش آب‌گرمایی با امواج فراصوت

محبوبه اجتماعی<sup>۱</sup>، سپهر صدیقی<sup>۲\*</sup> علیقلی نیائی<sup>۳\*\*</sup>، مهدی رشیدزاده<sup>۴</sup> و داریوش سالاری<sup>۵</sup>

۱. دانشجوی دکترای مهندسی شیمی، دانشکده مهندسی شیمی و نفت، دانشگاه تبریز، تبریز، ایران.

۲. استادیار مهندسی شیمی، پژوهشکده توسعه فناوری‌های کاتالیست، پژوهشگاه صنعت نفت، تهران، ایران.

۳. استاد مهندسی شیمی، دانشکده مهندسی شیمی و نفت، دانشگاه تبریز، تبریز، ایران.

۴. دانشیار شیمی، پژوهشکده توسعه فناوری‌های کاتالیست، پژوهشگاه صنعت نفت، تهران، ایران.

۵. استاد شیمی، دانشکده شیمی، دانشگاه تبریز، تبریز، ایران.

دریافت: آذر ۱۴۰۰ بازنگری: بهمن ۱۴۰۰ پذیرش: اسفند ۱۴۰۰



10.30495/JACR.2022.689135



20.1001.1.17359937.1401.16.1.8.0

### چکیده

زئولیت LTA به عنوان یکی از پرکاربردترین زئولیت‌های صنعتی است که در فرایندهای متفاوت به عنوان جاذب، تبادل‌گر یونی و کاتالیست به کار گرفته می‌شود. در این پژوهش، زئولیت A با روش آب‌گرمایی از کائولن به عنوان منبع اتم‌های سیلیکون و آلومینیم تهیه شد. روش‌های متفاوت فعال‌سازی کائولن مانند کلسینه‌شدن، ذوب قلیابی و ذوب قلیابی-استخراج مورد ارزیابی قرار گرفتند. ویژگی نمونه‌های تهیه شده با پراش پرتو ایکس (XRD)، میکروسکوپ الکترونی روبشی و جذب و اخذ نیتروژن بررسی و ظرفیت جذب آب ایستایی نمونه‌ها ارزیابی شدند. نتیجه‌ها نشان دادند، زمان تهیه در روش کلسینه‌شدن کمتر بود در حالی که ذوب قلیابی منجر به تهیه زئولیت با خلوص بالاتری شد. دمای  $^{\circ}\text{C}$  ۷۰۰ به عنوان دمای بهینه کلسینه‌شدن کائولن نتیجه‌گیری شد. افزون برآن، ظرفیت جذب آب نمونه‌های تهیه شده در شکل‌های پتانسیم و سدیم در روش ذوب قلیابی به ترتیب برابر با ۱۴/۳۵ و ۲۴/۳۶ درصد وزنی و در روش ذوب قلیابی-استخراج به ترتیب برابر با ۱۴/۷۰ و ۲۵/۰۶ درصد وزنی به دست آمد که این مقادیر، بیشتر از ظرفیت جذب آب برای نمونه تهیه شده در روش کلسینه‌شدن (به ترتیب برابر با ۱۲/۲۴ و ۱۸/۲۷ درصد وزنی) بود.

**واژه‌های کلیدی:** زئولیت A، روش سنتز آب‌گرمایی، امواج فراصوت، کائولن، کلسینه‌شدن، ذوب قلیابی

### مقدمه

که غربال‌های مولکولی نیز نامیده می‌شوند، آلومینا سیلیکات‌های

آبدار شامل فلزهای گروه ۱A و ۲A جدول تناوبی در حالت بلوری هستند و از واحدهای ساختاری اولیه چهاروجهی‌های

زئولیت‌های سنتری گروهی از مواد متخلخل با ساختاری شامل حفره‌ها و کانال‌های بسیار ریز هستند [۱ و ۲]. این مواد

[۱۰ تا ۱۶]. انواع متفاوت خاک رس به عنوان منبع اتمهای سیلیکون و یا آلومینیم به طور گسترده برای تهیه زئولیت‌ها به کار گرفته شده است. با توجه به اینکه، نسبت سیلیکون بر آلومینیم خاک رس کائولن نزدیک ۱ است، گزینه ایده‌آل برای تهیه زئولیت A به حساب می‌رود [۱۰ و ۱۷]. کائولن دارای ساختار ۱:۱ و با ترکیب شیمیایی  $\text{Al}_2\text{Si}_2\text{O}_5(\text{OH})_4$  است که ساختار آن برای نخستین بار توسط پائولینگ پیشنهاد شد [۱۸]. کائولن ساختاری دو بعدی دارد و ساختار آن شامل یک لایه چهاروجهی سیلیکا و یک لایه هشت‌وجهی آلومینیا است. به دلیل وجود پیوند هیدروژنی بین این لایه‌ها، کائولن به طور ذاتی ترکیبی غیرفعال برای تبدیل شدن به زئولیت است. روش‌های فعال‌سازی متفاوتی بدین منظور به کار گرفته شده است که از بین آن‌ها می‌توان به کلسینه‌شدن و ذوب قلیایی اشاره کرد [۱۳ و ۱۷]. طی کلسینه‌شدن کائولن در دماهای بالا عدد کوئردننسیون آلومینیم تغییر می‌یابد. ترکیب به دست آمده، متاکائولن، ماده‌ای واکنش‌پذیر است که در تهیه زئولیت A به طور گسترده‌ای به کار گرفته می‌شود. تهیه زئولیت از ماده اولیه کائولن با این روش شامل دو مرحله کلی عملیات گرمایی کائولن و تبدیل به ماده فعال متاکائولن و واکنش متاکائولن با محلول سدیم هیدروکسید است [۱۹]. در روش فعال‌سازی با روش ذوب قلیایی، مخلوط سدیم هیدروکسید و کائولن تحت کلسینه‌شدن در دماهای بالا قرارداده می‌شود که طی ذوب سدیم هیدروکسید، ساختار کائولن نیز از هم پاشیده می‌شود [۱۷]. در کار پژوهشی حاضر زئولیت A از خاکرس کائولن به عنوان منبع سیلیکون و آلومینیم به روش آب گرمایی تهیه شد و کارایی روش‌های متفاوت فعال‌سازی کائولن از جمله کلسینه‌شدن، ذوب قلیایی و ذوب قلیایی-استخراج بررسی شد. ظرفیت جذب آب ایستایی زئولیت‌های تهیه شده در شکل‌های سدیمی و پتاسیمی نیز ارزیابی شد.

1. Linde type A

سال شانزدهم، شماره ۱، بهار ۱۴۰۱

$\text{AlO}_4$  و  $\text{SiO}_4$  در یک شبکه سه‌بعدی تشکیل می‌شوند [۳ و ۴]. زئولیت (A)  $\text{LTA}^1$  ساختاری سه‌بعدی با کانال‌های مستقیم و عمود برهم در راستای محورهای x, y و z دارد. فرمول شیمیایی هسته واحد این زئولیت در حالت آپوپوشی کامل به صورت  $[\text{Na}_{12}(\text{H}_2\text{O})_{27}]_8[\text{Al}_{12}\text{Si}_{12}\text{O}_{48}]_8$  است. ساختار این نوع زئولیت، با پیوند قفسه‌های سودالیت، به وسیله چهارضلعی‌ها دوتایی ( $\text{D}4\text{R}^2$ )، بهم شکل می‌گیرد و طی این پیوند حفره‌های  $\alpha$  تشکیل می‌شوند. این زئولیت با نسبت  $\text{Si}/\text{Al}$  برابر با ۱ تهیه می‌شود [۵]. اندازه حفره ورودی این زئولیت به نوع کاتیون‌های موجود در ساختار آن بستگی دارد و از ۳ تا ۵ انگسترم می‌تواند تعییر کند. با جانشینی برخی کاتیون‌های تک‌ظرفیتی  $\text{Na}^+$  با کاتیون‌های دو‌ظرفیتی  $\text{Ca}^{2+}$  و کاهش تعداد کاتیون‌ها قطر حفره‌های ورودی از ۴ تا ۵ انگسترم افزایش می‌یابد. از طرفی با تبادل کاتیون‌های  $\text{Na}^+$  با کاتیون‌های تک‌ظرفیتی بزرگتر  $\text{K}^+$ ، اندازه حفره‌ها از ۴ به ۳ انگسترم کاهش می‌یابد. از این‌رو، زئولیت‌های با ساختار LTA و کاتیون‌هایی از نوع کلسیم و پتاسیم به ترتیب تحت عنوان زئولیت‌های ۵A و ۳A شناخته شده‌اند [۵ تا ۷]. این نوع زئولیت همواره به عنوان یکی از پرکاربردترین زئولیت‌های صنعتی مطرح بوده و در فرایندهای متفاوت به عنوان جاذب، تبادل‌گر یونی، کاتالیست به کار گرفته می‌شود. زئولیت‌های با نسبت  $\text{Si}/\text{Al}$  پایین، به دلیل اثر متقابل قوی مولکول قطبی آب با میدان‌های الکترواستاتیک شبکه زئولیت و کاتیون‌های بیرون شبکه، بسیار آبدوست هستند [۸] از بین زئولیت‌های متفاوت با نسبت  $\text{Si}/\text{Al}$  پایین، زئولیت‌های خانواده LTA کمترین نسبت  $\text{Al}/\text{Si}$  و یا به عبارت دیگر، بیشترین اتمهای آلومینیم را در ساختار خود دارند. از این‌رو، این نوع زئولیت‌ها بالاترین ویژگی آبدوستی را از خود نشان می‌دهند [۹]. زئولیت LTA یکی از مهم‌ترین زئولیت‌ها است که گزارش‌های زیادی از چگونگی تهیه آن ارائه شده است

2. Double-four-ring

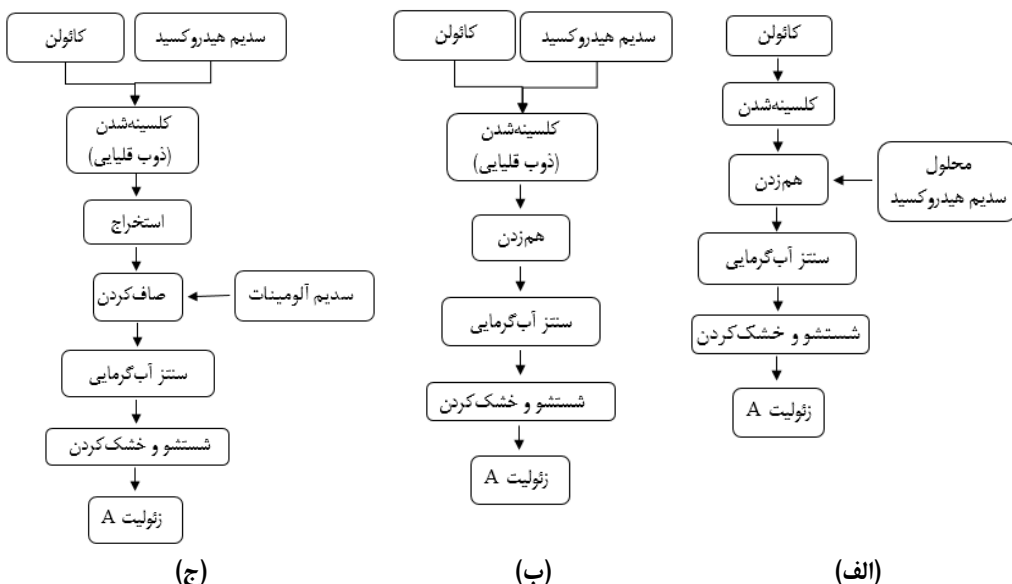
نشریه پژوهش‌های کاربردی در شیمی (JARC)

**بخش تجربی**  
مواد و روش‌ها  
ویژگی‌های مواد مورد استفاده در این پژوهش در جدول ۱ آرائه شده است.

تهییه ژل اولیه سنتر با روش‌های متفاوت فعال‌سازی کاثولن روند نمایی از روش‌های به کار گرفته شده برای تهییه زئولیت A در این پژوهش، در شکل ۱ آمده است.

## جدول ۱ مواد مورد استفاده در تهیه نمونه‌ها

ماده مورد استفاده	فرمول شیمیایی	عملکرد	شرکت سازنده
کائولین	$\text{Al}_2\text{O}_3 \cdot 2\text{SiO}_2 \cdot 2\text{H}_2\text{O}$	ماده اولیه تهیه زوپلیت	Samchun
سدیم هیدروکسید	NaOH	ماده اولیه سدیم	Merck
سدیم آلومنیات	NaAlO <sub>2</sub>	عامل هسته‌زایی	Merck
کلسیم کلرید	CaCl <sub>2</sub>	ماده اولیه کلسیم	Merck
کائولین	$\text{Al}_2\text{O}_3 \cdot 2\text{SiO}_2 \cdot 2\text{H}_2\text{O}$	ماده اولیه تهیه زوپلیت	معدن زنوز، مرند، آذربایجان شرقی
آب مقطمر	H <sub>2</sub> O	حلال	دانشگاه تبریز
آب دیونزدوده	H <sub>2</sub> O	حلال	دانشگاه تبریز



شکل ۱ روندnamی تهیه زئولیت A با روش های متفاوت فعال سازی کائولن شامل کلسینه شدن (الف)، ذوب قلیابی (ب) و ذوب قلیابی-استخراج (ج)

الف- تهیه ژل اولیه سنتز با کائولن کلسینه شده (متاکائولن) طی این روش (شکل ۱-الف)، ابتدا کائولن مورد استفاده، ط، کلسینه شدن، در دماهای،  $700^{\circ}\text{C}$  و  $800^{\circ}\text{C}$  به مدت ۲

(UP400S) همزدہ شد. به دنبال آن، مخلوط به دست آمده برای تهیه زئولیت با روش آب گرمایی، به دمفارشار انتقال داده شد (شکل ۱-الف). نمونه‌ها برپایه شرایط ذکر شده در جدول ۲ تهیه شدند.

ساعت به متاکائولن تبدیل شد. متاکائولن به دست آمده به محلول سدیم هیدروکسید ۵ مولار افزوده شد (به مقدار ۸٪ وزنی بر مبنای حجم محلول استفاده شده) و با همزن مغناطیسی با دور متوسط یا تحت امواج فراصوت (دستگاه فراصوت مدل

جدول ۲ شرایط تهیه زئولیت A با کائولن کلسینه شده

کد نمونه	دما کلسینه شدن کائولن (°C)	زمان اختلاط محلول اولیه	زمان تهیه آب گرمایی (h)
ZC1	۸۰۰	۲ ساعت	۲/۵
ZC2	۷۰۰	۲ ساعت	۲/۵
ZC3	۶۰۰	۲ ساعت	۲/۵
ZC4	۷۰۰	۲ ساعت	۲
ZC5	۷۰۰	۲۰ دقیقه امواج فراصوت	۱/۵
ZCS	۷۰۰	۲۰ دقیقه امواج فراصوت	۱/۵

جدول ۳ شرایط تهیه زئولیت A با کائولن کلسینه شده  
در روش ذوب قلیایی

کد نمونه	مدت اختلاط محلول اولیه	مدت سنتز آب گرمایی (h)
ZF1	۲ ساعت	۱/۵
ZF2	۲ ساعت	۳
ZF3	۲ ساعت	۴/۵
ZF4	۲۰ دقیقه امواج فراصوت	۱/۵
ZF5	۲۰ دقیقه امواج فراصوت	۳
ZF6	۲۰ دقیقه امواج فراصوت	۴/۵
ZFS	۲۰ دقیقه امواج فراصوت	۳

ج- تهیه ژل با محلول استخراج شده از کائولن کلسینه شده با روش ذوب قلیایی-استخراج در این حالت پودر به دست آمده از مرحله کلسینه شدن مخلوط کائولن-سدیم هیدروکسید در دما ۶۰۰ °C با مقدار

ب- تهیه ژل اولیه سنتز با کائولن کلسینه شده با روش ذوب قلیایی

بدین منظور ابتدا کائولن و سدیم هیدروکسید، با نسبت وزنی ۱/۲ به صورت دستی به مدت ۳۰ دقیقه مخلوط شد تا مخلوط همگنی به دست آمد. مخلوط فیزیکی به دست آمده در دما ۶۰۰ °C به مدت ۲ ساعت کلسینه شد. جامد به دست آمده در یک هاون سرامیکی به طور کامل خرد شد و سپس پودر به دست آمده به مقدار معینی آب یون زدوده افزوده شد (به مقدار ۸٪ وزنی بر مبنای آب مورد استفاده) و با همزن مغناطیسی با دور متوسط یا تحت امواج فراصوت همزدہ شد. به دنبال آن ژل به دست آمده برای تهیه زئولیت با روش آب گرمایی به دمفارشار انتقال داده شد (شکل ۱-ب). نمونه‌ها برپایه شرایط ذکر شده در جدول ۳ تهیه شدند.

۱۰ ساعت در دمای  $110^{\circ}\text{C}$  خشک شد. لازم به ذکر است فرم پتاسیم و کلسیم زئولیت‌ها با محلول‌های پتاسیم و کلسیم کلرید تهیه شدند.

روش‌های شناسایی زئولیت‌های تهیه شده برای شناسایی فازهای تشکیل شده، از روش متداول پراش پرتو ایکس استفاده شد. پراش پرتو ایکس با دستگاه پراش سنج زیمنس مدل D500، با  $2\theta$  در گستره  $4^{\circ}$  تا  $50^{\circ}$  و به کارگیری پرتو  $\text{Cu}-\text{K}\alpha$  با طول موج  $154\text{ \AA}$  نانومتر موردمطالعه قرار گرفت. ریخت و توزیع اندازه ذره‌ها، عناصر موجود در نمونه و پراکندگی آن‌ها با به کارگیری میکروسکوپ الکترونی روبشی مدل MIRA3 FEG-SEM Tescan و طیف‌سنجی تفکیک انرژی بررسی شد. با توجه به اینکه نمونه‌های تهیه شده نیمرسانا بودند، برای ایجاد رسانایی الکتریکی، پوشش‌دهی طلا بر نمونه‌ها انجام گرفت و سپس تصویرهای موردنظر تهیه شدند. از جذب فیزیکی نیتروژن برای تعیین مساحت سطح ویژه، توزیع اندازه و حجم حفره‌های نمونه‌ها استفاده شد. بدین منظور دستگاه Micrometrics مدل 3-Flex به کارگرفته شد. پیش از انجام آزمون برای دفع گازهای جذب شده بر نمونه، گاز زدایی نمونه‌ها در دمای  $300^{\circ}\text{C}$  به مدت ۴ ساعت انجام شد. برای بررسی ظرفیت جذب ایستایی آب، ابتدا نمونه‌ها را در دمای  $250^{\circ}\text{C}$  به مدت ۲۴ ساعت گرمادهی و سپس در خشکانه سرد شدند. پس از اندازه‌گیری وزن نمونه‌ها (وزن خشک)، نمونه‌ها به خشکانه دیگری که با محلول سیرشده کلسیم کلرید در رطوبت نسبی  $29\%$  نگهداری می‌شد، منتقل شدند. پس از سیرشدن، نمونه دوباره وزن شد. ظرفیت جذب ایستایی آب با به کارگیری معادله ۱ اندازه‌گیری شد.

$$\text{WA\%} = 100 * \frac{(W_2 - W_1)}{W_1} \quad (1)$$

که در آن  $W_1$  و  $W_2$  به ترتیب وزن نمونه پس از گرمادهی تا  $250^{\circ}\text{C}$  و پس از جذب آب هستند.

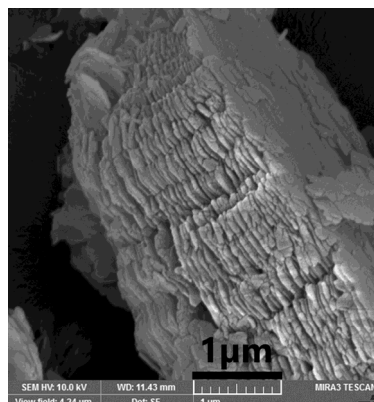
معینی آب مخلوط و برای استخراج اتم‌های آلومینیم و سیلیکون  $2/5$  ساعت هم زده شد. سپس، برای جداسازی فاز جامد و مایع به دست آمد، از دستگاه گریزانه استفاده شد. در ادامه محلول  $1\%$  وزنی سدیم آلومینات به فاز مایع به دست آمده از مرحله پیشین، با نسبت حجمی  $2$  به  $3$ ، افزوده شد. محلول پایانی به دست آمده یک ساعت روی همزن مغناطیسی با دور متوسط قرار داده شد. به دنبال آن برای تهیه زئولیت با روش آب گرمایی، ژل به دست آمده به دم‌فشار منتقل شد (شکل ۱-ج). نمونه‌ها برپایه شرایط ذکر شده در جدول ۴ تهیه شدند.

جدول ۴ شرایط تهیه نمونه‌ها در روش ذوب قلایی-استخراج

کد نمونه	مدت تهیه اولیه (ساعت)	مدت تهیه محلول (h)
ZE1	۲	۴/۵
ZE2	۲	۴

تهیه زئولیت با روش آب گرمایی (بلورش) ژل تهیه شده با روش‌های فعال سازی متفاوت، به درون محفظه تفلونی دم‌فشار انتقال داده شد. سپس دم‌فشار به مدت مشخصی درون کوره در دمای  $100^{\circ}\text{C}$  قرار داده شد و پس از تکمیل عملیات گرمایی، دم‌فشار با آب سرد شد و فراورده‌ها از آن خارج شد. فراورده صاف و چند بار با آب مقطر شسته شد و در پایان فراورده نهایی حدود ۱۰ ساعت در دمای  $100^{\circ}\text{C}$  خشک شد.

تبادل یونی زئولیت A تهیه شده بدین منظور محلولی از منبع کاتیون مدنظر تهیه و پودر زئولیت تهیه شده (به مقدار  $2\%$  وزنی بر مبنای محلول مورداستفاده) به آن افزوده شد. محلول در دمای  $80^{\circ}\text{C}$  و به مدت ۸ ساعت روی همزن مغناطیسی با دور متوسط قرار داده شد. در پایان فاز جامد صاف و برای حذف یون‌های اضافی با آب مقطر شسته شد. در ادامه نمونه در مدت حدود



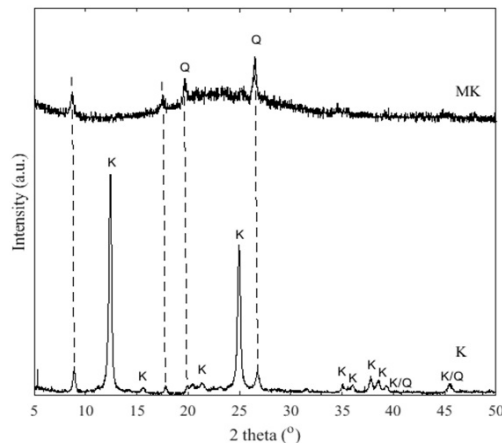
شکل ۳ تصویر FESEM کاٹولن به کارگرفته شده برای تهیه زئولیت

#### شناسایی زئولیت‌های تهیه شده روش کلسینه‌شدن

طی کلسینه‌شدن کاٹولن در دماهای بالا، ساختار بلوری آن از بین می‌رود، پیوند هیدروژنی بین لایه‌ها شکسته می‌شود و عدد کوئوردیناسیون اتمهای آلومینیم تغییر می‌یابد. در یک دما بیشترین چهاروجهی‌ها به دست می‌آیند که در این دما، بازده تشکیل فاز زئولیت A در روش تهیه آب‌گرمایی، بیشترین مقدار است [۱۱]. از این‌رو، یافتن دمای بهینه کلسینه‌شدن برای افزایش بازده تشکیل زئولیت A ضروری است. بر این پایه، ابتدا کاٹولن در دماهای ۷۰۰ و ۸۰۰ °C کلسینه و نمونه‌هایی با شرایط گزارش شده در جدول ۲، تهیه شد. الگوهای XRD نمونه‌های تهیه شده در شکل ۴ آورده شده است. پیک‌های مشخصه زئولیت A قابل مشاهده هستند [۲۲]. با بررسی الگوهای پراش پرتو ایکس نمونه‌های تهیه شده، نمونه کلسینه‌شده در دمای ۷۰۰ °C (ZC2)، ۶۰۰ °C (ZC3) و ۵۰۰ °C (ZC1) بلورینگی بالاتری نسبت به دو نمونه دیگر به دست آمده از کلسینه‌شدن کاٹولن در دماهای ۶۰۰ و ۸۰۰ °C از خود نشان می‌دهد. همچنین، افزون بر فاز زئولیت A تهیه شده، پیک به دست آمده در ۲θ برابر ۱۳۹۶° مربوط به فاز سودالیت (S) است که به عنوان فاز ناخالص تشکیل شده است [۱۳]. سودالیت به لحاظ ساختاری مشابه زئولیت A، است با

#### نتیجه‌ها و بحث

ویژگی‌های کاٹولن مورداستفاده برای تهیه زئولیت الگوهای XRD کاٹولن مورداستفاده به عنوان منبع سیلیکون و آلومینیم و کاٹولن کلسینه‌شده (متاکاٹولن) در شکل ۲ نشان داده شده‌اند. برپایه الگوی پراش پرتو ایکس، کاٹولینیت فاز اصلی کاٹولن مورداستفاده است  $2\theta = 12/3$  و  $24/6^\circ$  [۲۰]. همچنین، الگوی مشاهده شده در  $2\theta = 20/8$  و  $26/6^\circ$  مربوط به فاز بلوری کوارتز و پیک پدیدارشده  $2\theta = 9$  و  $17/5^\circ$  مربوط به فاز بلوری ایلیت است [۲۱]. چنانچه مشاهده می‌شود طی کلسینه‌شدن کاٹولن، ساختار بلوری آن از بین رفته و ترکیب به دست آمده، متاکاٹولن با ساختاری بی‌ریخت<sup>۱</sup> است. پیک‌های مشاهده شده در طیف مربوط به متاکاٹولن مربوط به ناخالصی‌های کاٹولن است که به دلیل پایداری گرمایی بالا، ساختار آن‌ها حفظ شده است. کاٹولن که فاز اصلی آن کاٹولینیت است جز مواد معدنی فیلوسیلیکات‌ها یا موادی با ساختار لایه‌ای است. شکل ۳ صفحه‌ای کاٹولن به روشنی در تصویر FESEM (شکل ۳) مشاهده می‌شود.



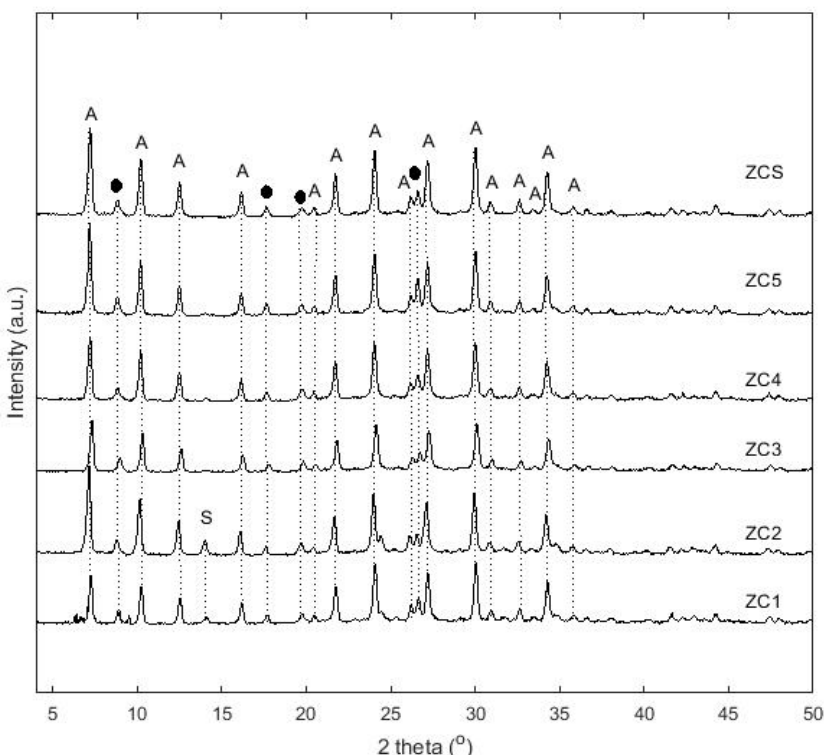
شکل ۲ الگوهای XRD کاٹولن (K) و متاکاٹولن (MK)  
به کارگرفته شده برای تهیه زئولیت

1. Amorphous

سال شانزدهم، شماره ۱، بهار ۱۴۰۱

تهیه، پیک مربوط به سودالیت از بین می‌رود و پیک‌های مربوط به زئولیت A به عنوان تنها فاز زئولیت تهیه شده، مشاهده می‌شوند (ZC4). لازم به ذکر است افزون بر پیک‌های مشخصه زئولیت A، سایر پیک‌های مشاهده شده مربوط به ناخالصی‌های موجود در ماده اولیه کائولن مانند کوارتز و ایلیت هستند.

این تفاوت که ساختار آن با پیوند قفسه‌های سودالیت از راه حلقه‌های چهارضلعی شکل می‌گیرد، از دیدگاه ترمودینامیکی زئولیت A ناپایدار است و در دماهای بالا یا زمان‌های تهیه طولانی به سودالیت تبدیل می‌شود. از این‌رو، برای تهیه زئولیت A، با خلوص بالا مدت تهیه نمونه‌ها کاهش داده شد. نتیجه‌های XRD این نمونه، نشان می‌دهد با کاهش زمان



شکل ۴ الگوهای XRD نمونه‌های تهیه شده از کائولن فعال شده با روش کلسینه‌شدن  
●: سودالیت A; ●: ناخالصی‌های موجود در ماده اولیه کائولن)

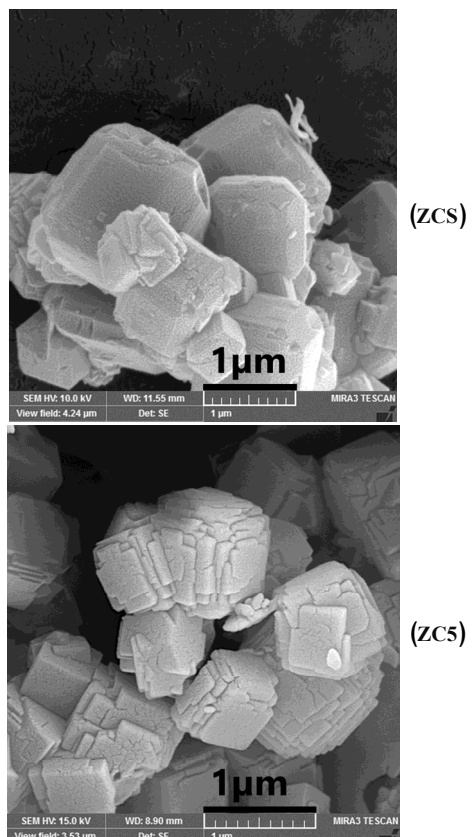
این نتیجه‌ها تاییدی بر تسریع انتقال جرم، تشکیل هسته‌های اولیه زئولیت و کاهش زمان تهیه با اعمال امواج فراصوت است. برای بررسی اثر ریزدانه، با افزودن  $5/5$  درصد وزنی پودر زئولیت A به محلول اولیه ستز، نمونه‌ای تهیه شد. نتیجه‌های بررسی الگوی XRD نمونه نشان می‌دهد افزودن ریزدانه تأثیر

برای بررسی اثر امواج فراصوت، نمونه‌ای تحت شرایط مشابه نمونه ZC4، تهیه شد که در آن محلول اولیه تحت امواج فراصوت قرار داده شد (ZC5). در ادامه در مدت  $1/5$  ساعت با روش آب‌گرمایی زئولیت تهیه شد. الگوی XRD این نمونه نشان می‌دهد تنها فاز زئولیت تهیه شده، زئولیت A است.

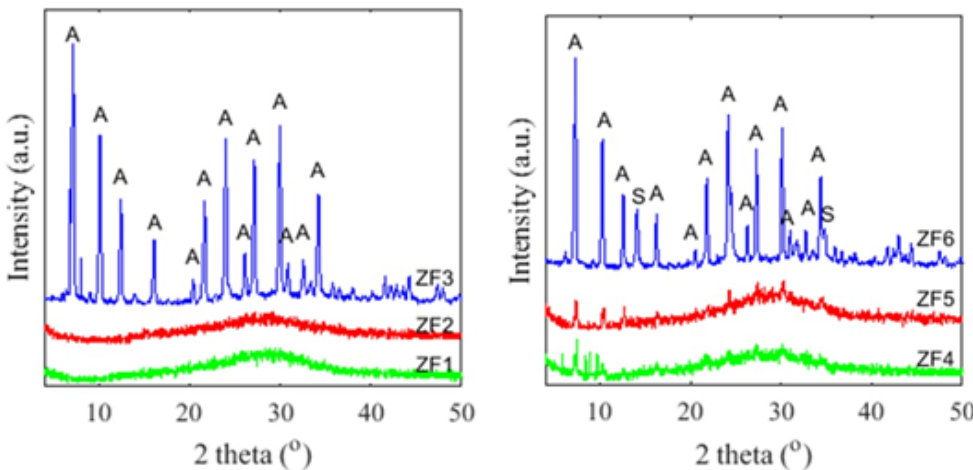
روش ذوب قلیایی

شرایط تهیه نمونه‌ها با این روش در جدول ۳ آورده شده است. در ابتدا برپایه نتیجه‌های به دست آمده از بخش پیشین، محلول اولیه تهیه شده با این روش به مدت ۲ ساعت تحت همزدن با دور متوسط و سپس، ۱/۵ ساعت گرمادهی شد تا نمونه زئولیت (ZF1) به دست آمد. بررسی الگوی XRD این نمونه نشان داد پودر به دست آمده بی‌ریخت بود و هیچ فاز بلوری تشکیل نشده بود (شکل ۶). در ادامه نمونه‌های ZF2 در زمان‌های تهیه ۳ و ۴/۵ ساعت تهیه شدند و ZF3. الگوهای XRD این نمونه‌ها نشان داد، همچنان دیگری در زمان‌های تهیه ۳ و ۴/۵ ساعت تهیه شدند. نمونه ZF3 این نمونه‌ها نشان داد، همچنان زمان تهیه ۴/۵ ساعت، نمونه به دست آمده به طور کامل بلوری و در کنار فاز غالب زئولیت A، ساختار سودالیت نیز تشکیل شده است. مشابه بخش پیشین برای بررسی اثر امواج فرآصوت، محلول اولیه تهیه به مدت ۲۰ دقیقه تحت امواج فرآصوت قرار داده شد. در ادامه محلول در زمان‌های ۳، ۱/۵ و ۴/۵ ساعت گرمادهی شد تا نمونه‌های زئولیت ZF4 و ZF5 تهیه شد. مقایسه الگوهای XRD این نمونه‌ها با نمونه‌ها پیشین، نشان می‌دهد با به کارگیری امواج فرآصوت، سرعت تشکیل بلورهای نمونه‌ها بیشتر می‌شود به طوری که برای نمونه تهیه شده در مدت ۳ ساعت بلورهایی از زئولیت A تشکیل شده‌اند، ولی فاز بیشتر نمونه بی‌ریخت است. در مورد نمونه تهیه شده در مدت ۴/۵ ساعت نیز در کنار بلورهایی‌های زئولیت A، فاز سودالیت نیز به مقدار قابل توجهی تشکیل شده است. این نتیجه‌ها نیز مشابه نتیجه‌های بخش پیشین، اثرات امواج فرآصوت در تسریع بلوری شدن و کاهش زمان تهیه را نشان می‌دهد.

قابل توجهی بر بلورینگی فراورده پایانی نداشته است. برای ریخت‌شناسی نمونه‌ها از FESEM استفاده شد. شکل ۵ تصویرهای FESEM نمونه بهینه تهیه شده (ZC5) و نمونه تهیه شده در حضور ریزدانه (ZCS) را نشان می‌دهد. همان‌طور که مشاهده می‌شود، ذره‌های نمونه‌ها مکعبی شکل هستند که تاییدی بر تشکیل زئولیت A است. در کنار ذره‌های مکعبی زئولیت تهیه شده، شکل‌های لایه‌ای هم مشاهده می‌شود که مربوط به ناخالصی‌های کائولن مورد استفاده مانند، کوارتز و ایلیت است.



شکل ۵ تصویرهای FESEM نمونه بهینه تهیه شده (ZCS5) و نمونه تهیه شده در حضور ریزدانه (ZC5)



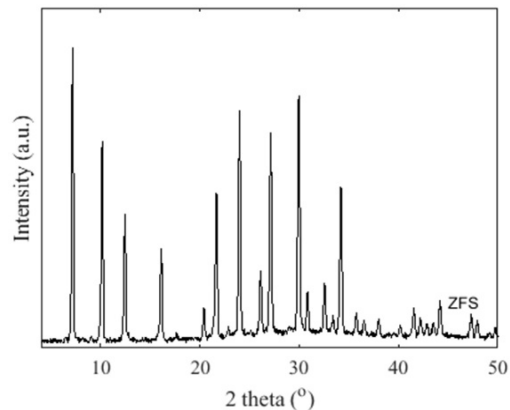
شکل ۶ الگوهای XRD نمونه‌های تهیه شده از کائولن فعال شده با روش ذوب قلیایی

همان‌طور که مشاهده می‌شود، ذره‌های نمونه مکعبی هستند که ریخت شناخته شده زئولیت A است و تاییدی بر نتیجه به دست آمده از بررسی الگوی XRD نمونه مبنی بر تشکیل زئولیت A است.

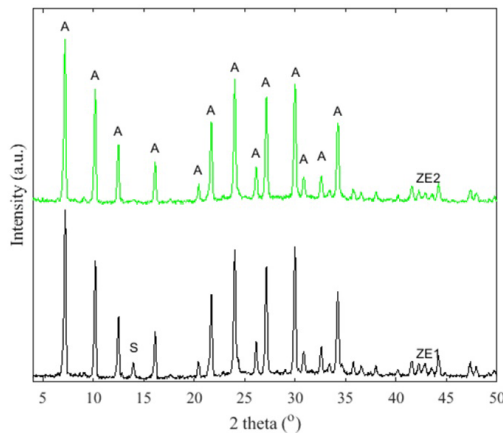
#### روش ذوب قلیایی-استخراج

با این روش، فاز مایع استخراج شده از انحلال جامد به دست آمده از کلسینه شدن کائولن و سدیم هیدروکسید در آب یون‌زدوده به عنوان منبع اتمهای سیلیکون و آلومینیم به کار گرفته شد. نمونه‌هایی تحت شرایط ذکر شده در جدول ۴ طی این روش تهیه شدند. برپایه نتیجه‌های بخش پیشین، نمونه‌ای در مدت ۴/۵ ساعت با روش آب گرمایی تهیه شد (ZE1). چنانچه الگوهای XRD نشان می‌دهند شکل ۹) فاز ناخالصی زئولیت سودالیت نیز تهیه شده است. از این‌رو، برای به دست آوردن زئولیت A با خلوص بالا، نمونه دیگری در مدت ۴ ساعت تهیه شد (ZE2). شکل ۱۰ تصویر FESEM نمونه به دست آمده را نشان می‌دهد. همان‌طور که مشاهده می‌شود، نمونه ریختی مکعبی دارد که تاییدی بر الگوی XRD مبنی بر تشکیل زئولیت A است.

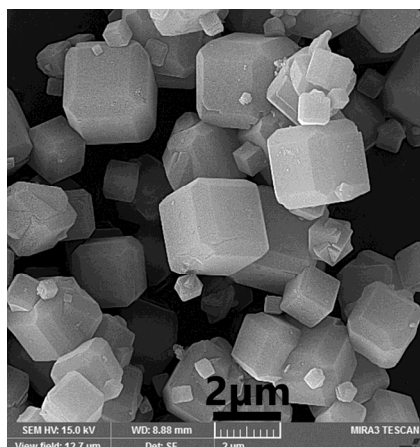
برای بررسی اثر ریزدانه، نمونه ZFS با افزودن ۰/۵٪ وزنی پودر زئولیت A، به محلول اولیه سنتز، تهیه شد. نتیجه بررسی الگوی XRD این نمونه نشان می‌دهد افزودن ریزدانه موجب افزایش سرعت هسته‌زایی و بلورش می‌شود و فراورده پایانی شامل فاز خالص زئولیت A است. شکل ۷ و ۸ الگوی XRD و تصویر FESEM نمونه به دست آمده را نشان می‌دهند.



شکل ۷ الگوی XRD نمونه ZFS



شکل ۹ الگوهای XRD نمونه‌های ZE1 و ZE2

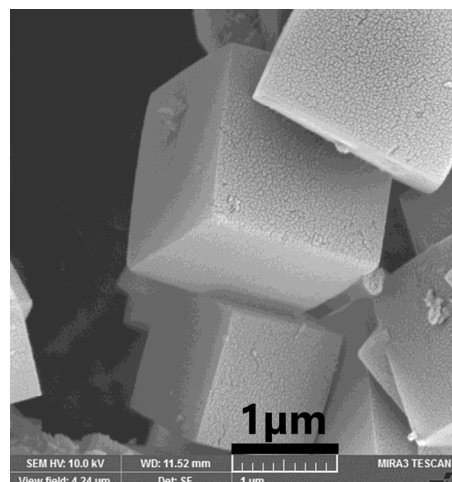


شکل ۱۰ تصویر FESEM نمونه ZE2

**هم‌دهای جذب/واجدب نیتروژن**

هم‌دهای جذب/واجدب نیتروژن زئولیت‌های تهیه شده در شکل سدیم و کلسیم در شکل ۱۱ نشان داده شده است. لازم به ذکر است مولکول نیتروژن با قطر سیستیکی ۳۶ انگستروم به دلیل محدودیت فضایی، نمی‌تواند وارد حفره‌های ذاتی بلورهای زئولیت A در شکل سدیم و پتاسیم، شود [۲۳ تا ۲۵]. از این‌رو، برای بررسی ویژگی‌های حفره‌های ساختاری زئولیت‌های تهیه شده، شکل کلسیم‌دار زئولیت A (Ca/Z) نیز طی تبدیل یونی تهیه شد. چنانچه انتظار می‌رفت به دلیل عدم دسترسی مولکول

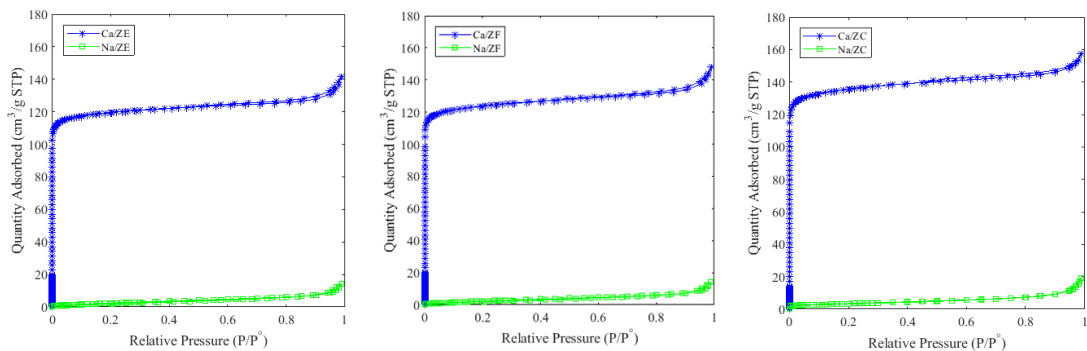
دو نکته از مقایسه نتیجه‌های بدست آمده از این دو روش فعال‌سازی کائولن، کلسینه‌شدن و ذوب قلیایی، مشهود است: (۱) زمان بلورش، در روش کلسینه‌شدن کمتر از حالت ذوب قلیایی است و (۲) زئولیت تهیه شده با ذوب قلیایی، ناخالصی‌های مربوط به ماده اولیه کائولن را ندارد. این نتیجه برآمده از تغییر ساختار کائولن در این روش‌های فعال‌سازی است. چنانچه اشاره شد، ساختار متاکائولن از کلسینه‌شدن کائولن بدست آمد، درحالی که در روش ذوب قلیایی، ساختار بلورش کائولن به طور کامل متلاشی می‌شود. از این‌رو، زمان بلورش و تشکیل ساختار زئولیت، در روش استفاده از ماده اولیه متاکائولن، کمتر است. همچنین، نمونه‌های تهیه شده با روش کلسینه‌شدن حاوی ناخالصی‌های کائولن هستند. این در حالی است که نمونه تهیه شده با روش ذوب قلیایی خلوص بالاتری دارد و بدون ناخالصی‌های موجود در ماده اولیه کائولن هستند. لازم به ذکر است در ادامه نمونه‌های بهینه تهیه شده با هر روش (ZE2 و ZFS، ZCS)، به صورت Na/ZF، Na/ZC و Na/ZE معرفی می‌شوند.



شکل ۸ تصویر FESEM نمونه ZFS

نیتروژن به میکروخفره‌های زئولیت تهیه شده سدیمی، جذب پایینی سطح خارجی ( $S_{\text{Ext}}$ ) و همچنین، حجم کل ( $V_{\text{tot}}$ )، حجم میکروخفره‌ها ( $V_{\text{mic}}$ ) و حجم مزوخفره‌ها ( $V_{\text{meso}}$ ) نمونه‌های ذکور در جدول ۵ گزارش شده است. برپایه مقادیر گزارش شده می‌توان گفت زئولیت‌های تهیه شده مساحت سطح و حجم خفره‌های بالای دارند.

نیتروژن به میکروخفره‌های زئولیت تهیه شده سدیمی، جذب پایینی برای این نمونه‌ها مشاهده شد. هم‌دماهای جذب/واجدب نیتروژن برای نمونه Ca/Z دارای حلقه پسماند نوع H4 است. جذب بالا در فشارهای نسبی پایین، ویژه موادی با ساختار میکروخفره‌ها است [۲۶]. حلقه پسماند مشاهده شده نیز اشاره بر چکالش موینگی در خفره‌های باریک بین بلوری صفحه مانند دارد که در طی تشکیل و تجمع بلورهای زئولیت ایجاد شده‌اند [۲۶ و ۲۷]. مساحت سطح



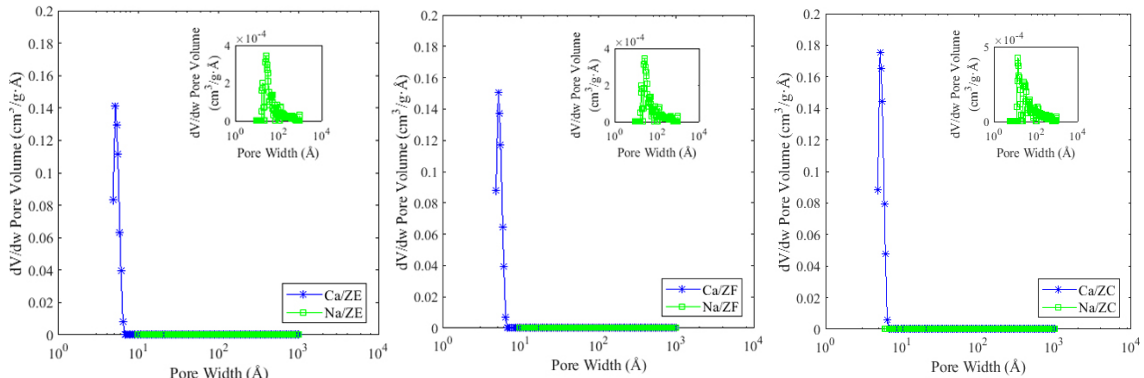
شکل ۱۱ هم‌دماهای جذب/واجدب نیتروژن برای زئولیت‌های تهیه شده

جدول ۵ سطح و حجم ویژه نمونه‌های Ca/Z و Na/Z

نمونه	حجم ویژه ( $\text{cm}^3/\text{g}$ )	سطح ویژه ( $\text{m}^2/\text{g}$ )
Na/ZC	۰/۰۳	۱۲
	۰/۲۴۴ ( $V_{\text{tot}}$ )	۵۴۴ ( $S_{\text{BET}}$ )
	۰/۱۹۲ ( $V_{\text{mic}}$ )	۵۰۳ ( $S_{\text{mic}}$ )
	۰/۰۵۲ ( $V_{\text{meso}}$ )	۴۱ ( $S_{\text{Ext}}$ )
Ca/ZF	۰/۰۱۸	۹
	۰/۲۲۹ ( $V_{\text{tot}}$ )	۴۹۸ ( $S_{\text{BET}}$ )
	۰/۱۷۶ ( $V_{\text{mic}}$ )	۴۶۲ ( $S_{\text{mic}}$ )
	۰/۰۵۳ ( $V_{\text{meso}}$ )	۳۶ ( $S_{\text{Ext}}$ )
Na/ZE	۰/۰۱۲	۱۰
	۰/۲۱۹ ( $V_{\text{tot}}$ )	۴۸۲ ( $S_{\text{BET}}$ )
	۰/۱۷۱ ( $V_{\text{mic}}$ )	۴۵۱ ( $S_{\text{mic}}$ )
	۰/۰۴۷ ( $V_{\text{meso}}$ )	۳۱ ( $S_{\text{Ext}}$ )
Ca/ZE	۰/۰۱۲	۱۰
	۰/۲۱۹ ( $V_{\text{tot}}$ )	۴۸۲ ( $S_{\text{BET}}$ )
	۰/۱۷۱ ( $V_{\text{mic}}$ )	۴۵۱ ( $S_{\text{mic}}$ )
	۰/۰۴۷ ( $V_{\text{meso}}$ )	۳۱ ( $S_{\text{Ext}}$ )

Na/ZF و Na/ZE پیک‌های کوچک مشاهده شده در گستره ۱۰ تا ۱۰۰ انگستروم، اشاره بر توزیع اندازه حفره‌های بین بلورها دارد (شکل ۱۲).

توزیع اندازه حفره‌های نمونه‌های ذکر شده با روش NLDFT ارزیابی شد. همان‌طور که مشاهده می‌شود شکل کلسیم زئولیت‌های تهیه شده (Ca/ZC، Ca/ZF، Ca/ZE) یک پیک در ۵/۱ انگستروم دارد. در مورد نمونه‌های Na/ZC



شکل ۱۲ توزیع اندازه حفره‌های زئولیت‌های تهیه شده به روش NLDFT

جدول ۶ ظرفیت جذب آب زئولیت‌های تهیه شده

نمونه	ظرفیت جذب آب (wt.%)
K/ZC	۱۲/۲
Na/ZC	۱۸/۳
K/ZF	۱۴/۴
Na/ZF	۲۴/۴
K/ZE	۱۴/۷
Na/ZE	۲۵/۱

### نتیجه‌گیری

در این کار به تهیه زئولیت A از کائولن به عنوان منبع اتمهای سیلیکون و آلومینیم پرداخته شد و روش‌های متفاوت فعال‌سازی کائولن مانند کلسینه‌شدن و ذوب قلیایی به کار گرفته شد. همچنین، ظرفیت جذب آب نمونه‌های پتاسیمی و سدیمی بررسی شد. نتیجه‌های بدست آمده نشان داد دمای بهینه کلسینه‌شدن کائولن به کار رفته برای افزایش بازده تشکیل زئولیت A، ۷۰۰ °C است.

### بررسی جذب آب نمونه‌ها

شکل پتاسیم نمونه‌های تهیه شده با تبادل یونی با محلول پتاسیم کلرید تهیه شد و ظرفیت جذب آب نمونه‌ها در فرم پتاسیم و سدیم ارزیابی شد. ظرفیت جذب آب نمونه‌ها به صورت ایستایی در دمای ۲۵°C اندازه‌گیری شد که نتیجه‌ها در جدول ۶ آورده شده است. همان‌طور که مشاهده می‌شود، ظرفیت جذب آب نمونه‌های تهیه شده با روش فعال‌سازی ذوب قلیایی و ذوب قلیایی / استخراج بیشتر از نمونه تهیه شده به روش کلسینه‌شدن است که می‌تواند برآورده از خلوص بالای زئولیت تهیه شده باشد. همچنین، شکل پتاسیم زئولیت‌های تهیه شده ظرفیت جذب کمتری نسبت به نمونه سدیمی دارد. با توجه به اینکه شعاع یونی پتاسیم بزرگ‌تر از شعاع یونی سدیم است، حجم میکرو‌حفره‌های موجود و در دسترس برای مولکول‌های آب در نمونه K/Z کمتر است و در نتیجه این نمونه‌ها ظرفیت جذب آب کمتری دارند.

طولانی‌تر، اعمال امواج فرا صوت موجب تشکیل فاز ناخالص سودالیت نیز می‌شود. ظرفیت جذب آب زئولیت‌های تهیه شده سدیمی بیشتر از پتاسیمی است. ظرفیت جذب آب نمونه‌های تهیه شده با روش کلسینه‌شدن کمتر از ظرفیت جذب آب نمونه‌های تهیه شده با روش ذوب قلیایی و ذوب قلیایی-استخراج است.

است. زمان بلورش در روش کلسینه‌شدن کمتر از روش ذوب قلیایی و ذوب قلیایی-استخراج است. در روش ذوب قلیایی، ناخالصی‌های موجود در کائولن نیز قابلیت تبدیل به فاز بلوری زئولیت را دارند و در نتیجه زئولیت A با خلوص بالاتری تهیه می‌شود. به کارگیری امواج فرا صوت تاثیری در اندازه ذره‌های زئولیت تهیه شده ندارد ولی زمان بلورش و تهیه را کاهش می‌دهد. در زمان‌های تهیه

## مراجع

- [1] Maesen, T.; Marcus, B.; "The zeolite scene—An overview" in: van Bekkum, H.; Flanigen, E.M.; Jacobs, P.A.; Jansen, J.C.; "Studies in Surface Science and Catalysis", Elsevier, Amsterdam, 2001.
- [2] Hadi, N.; Farzi, A.; Alizadeh, R.; Niaezi, A.; Microporous Mesoporous Mater. 306, 110406-110422, 2020.
- [3] Shams, K.; Mirmohammadi, S.J.; Microporous Mesoporous Mater. 106 (1), 268-277, 2007.
- [4] Kalantari, N.; Farzi, A.; Çaylak Delibaş, N.; Niaezi, A.; Salari, D.; Res. Chem. Intermed. 47 (12), 4957-4984, 2021.
- [5] Loiola, A.R.; Andrade, J.C.R.A.; Sasaki, J.M.; da Silva, L.R.D.; J. Colloid Interface Sci. 367 (1), 34-39, 2012.
- [6] Jaramillo, E.; Chandross, M.; J. Phys. Chem. B. 108 (52), 20155-20159, 2004.
- [7] Kulprathipanja, S., "Zeolites in Industrial Separation and Catalysis". WILEY-VCH Verlag GmbH & Co. KGaA, Weinheim, 2010.
- [8] Henao-Sierra, W.; Romero-Sáez, M.; Gracia, F.; Cacua, K.; Buitrago-Sierra, R.; Microporous Mesoporous Mater. 265, 250-257, 2018.
- [9] Castillo, J.M.; Silvestre-Albero, J.; Rodriguez-Reinoso, F.; Vlugt, T.J.H.; Calero, S.; Phys. Chem. Chem. Phys. 15 (40), 17374-17382, 2013.
- [10] Alkan, M.; Hopa, C.; Yilmaz, Z.; Güler, H.; Microporous Mesoporous Mater. 86 (1), 176-184, 2005.
- [11] Maia, A.Á.B.; Angélica, R.S.; de Freitas Neves, R.; Pöllmann, H.; Straub, C.; Saalwächter, K.; Appl. Clay Sci. 87, 189-196, 2014.
- [12] Maia, A.Á.B.; Neves, R.F.; Angélica, R.S.; Pöllmann, H.; Appl. Clay Sci. 108, 55-6, 2015.
- [13] Ayele, L.; Pérez-Pariente, J.; Chebude, Y.; Díaz, I.; Appl. Clay Sci. 132-133, 485-490, 2016.
- [14] Bukhari, S.S.; Rohani, S.; Kazemian, H.; Ultrason. Sonochemistry 28, 47-53, 2016.
- [15] Andaç, Ö.; Tatlıer, M.; Sirkecioğlu, A.; Ece, I.; Erdem-Şenatalar, A.; Microporous Mesoporous Mater. 79 (1), 225-233, 2005.
- [16] Ojumu, T.V.; Du Plessis, P.W.; Petrik, L.F.; Ultrason. Sonochemistry 31, 342-349, 2016.
- [17] Otieno, S.O.; Kengara, F.O.; Kemmegne-Mbouguen, J.C.; Langmi, H.W.; Kowenje, C.B.O.; Mokaya, R.; Microporous Mesoporous Mater. 290, 109668-109675, 2019.
- [18] Bhattacharyya, K.G.; Gupta, S.S.; Adv. Colloid Interface Sci. 140 (2), 114-131, 2008.
- [19] Abdullahi, T.; Harun, Z.; Othman, M.H.D.; Adv Powder Technol. 28 (8), 1827-1840, 2017.
- [20] Ayele, L.; Pérez-Pariente, J.; Chebude, Y.; Díaz, I.; Microporous Mesoporous Mater. 215, 29-36, 2015.

- [21] Melo, C.R.; Riella, H.G.; Kuhnen, N.C.; Angioletto, E.; Melo, A.R.; Bernardin, A.M.; da Rocha, M.R.; da Silva, L.; Mater. Sci. Eng. B. 177 (4), 345-349, 2012.
- [22] Zhang, X.; Tang, D.; Jiang, G.; Adv Powder Technol. 24 (3), 689-696, 2013.
- [23] Cheung, O.; Hedin, N.; RSC Adv. 4 (28), 14480-14494, 2014.
- [24] Valiullin, R.; Kärger, J.; Cho, K.; Choi, M.; Ryoo, R.; Microporous Mesoporous Mater. 142 (1), 236-244, 2011.
- [25] Prokof'ev, V.Y.; Gordina, N.E.; Borisova, T.N.; Shamanaeva, N.V.; Microporous Mesoporous Mater. 280, 116-123, 2019.
- [26] Thommes, M.; Kaneko, K.; Neimark, A.V.; Olivier, J.P.; Rodriguez-Reinoso, F.; Rouquerol, J.; Sing, K. S.W.; Pure Appl. Chem. 87 (9-10), 1051-1069, 2015.
- [27] Leofanti, G.; Padovan, M.; Tozzola, G.; Venturelli, B.; Catal Today. 41 (1), 207-219, 1998.

## **Investigation of the kaolin activation methods in ultrasonic-assisted hydrothermal synthesis of zeolite A**

**Mahboobeh Ejtemaei<sup>1</sup>, Sepehr Sadighi<sup>2,\*</sup>, Aligholi Niae<sup>3,\*</sup>, Mehdi Rashidzadeh<sup>4</sup>, Dariush Salari<sup>5</sup>**

1. Ph.D Student of Chemical Engineering, Faculty of Chemical and Petroleum Engineering, University of Tabriz, Tabriz, Iran.
2. Assistant Prof. of Chemical Engineering, Industry Catalysis Development Technologies Division, Research Institute of Petroleum Industry, Tehran, Iran.
3. Professor of Chemical Engineering, Faculty of Chemical and Petroleum Engineering, University of Tabriz, Tabriz, Iran.
4. Associate Prof. of Chemistry, Catalysis Development Technologies Division, Research Institute of Petroleum Industry, Tehran, Iran.
5. Professor of Chemistry, Faculty of Chemistry, University of Tabriz, Tabriz, Iran.

**Abstract:** Zeolites LTA is widely used as an adsorbent, ion exchanger, and catalyst in the chemical and petrochemical industries. In the present study, first, the Na form of zeolite A was synthesized by hydrothermal method from kaolin, using calcination and alkali fused activation methods. The samples were characterized by X-ray diffraction (XRD), FESEM, and N<sub>2</sub> physisorption techniques. The obtained results showed that crystallization time was lower via the kaolin calcination route in comparison to the alkaline fusion. Moreover, the alkali activation method is more suitable compared to the calcination one and leads to the synthesis of zeolite with high purity. Sonochemical treatment reduced the crystallization and synthesis time. In addition, the water sorption capacity of the K and Na forms of zeolites prepared via the kaolin fusion were 14.35 and 24.36 wt. %, and for the samples prepared via fusion-extraction were 14.7 and 25.06 wt. %, respectively. These water sorption capacities are higher than the values reported for the samples prepared using metakaolin (12.24 and 18.27 wt %).

**Keywords:** Zeolite LTA, Hydrothermal, Ultrasound, Kaolin, Calcination, Alkaline